

DOI:10.13820/j.cnki.gdyx.2018.s1.005

## 两种间充质干细胞对肺纤维化治疗作用的比较

邓向睿<sup>1</sup>,左万里<sup>2</sup>,黄积雄<sup>1</sup>,赵洁敏<sup>1</sup>,周伟<sup>3</sup>,雷泽洪<sup>4</sup>,黄炎明<sup>1</sup>,钟慧霖<sup>5</sup>中山大学附属江门医院、江门市中心医院<sup>1</sup>呼吸科,<sup>3</sup>病理科,<sup>4</sup>检验科(广东江门 529030);<sup>2</sup>暨南大学附属江门中医院、江门市五邑中医院呼吸科(广东江门 529000);<sup>5</sup>广州熙帝生物科技有限公司(广东广州 510520)

**【摘要】** 目的 比较骨髓间充质干细胞(BM-MSCs)与脐血间充质干细胞(UCB-MSCs)对肺纤维化大鼠的疗效。方法 48只雄性SD大鼠随机分为4组:A组于气管内注入0.1mL生理盐水;B、C、D组于气管内注入0.1mL5mg/kg的博来霉素制作肺纤维化模型。建模后1d,A、B组经尾静脉注射生理盐水1.0mL,C组经尾静脉注射BM-MSCs $1\times 10^6$ 个,D组经尾静脉注射UCB-MSCs $1\times 10^6$ 个。建模后28d及42d处死各组大鼠的一半,分别留取肺组织进行病理学检查、并测定肺组织转化生长因子-β1(TGF-β1)、羟脯氨酸(HYP)、基质金属蛋白酶-2(MMP-2)、基质金属蛋白酶组织抑制剂-1(TIMP-1)表达水平。结果 B组可见肺泡结构严重紊乱,大量胶原纤维沉积,B、C、D、A组肺纤维化评分依次降低[28d时为(3.00±0.00)分、(2.17±0.75)分、(1.60±0.89)分、(0.00±0.00)分,42d时为(3.00±0.00)分、(2.40±0.55)分、(1.75±0.96)分、(0.00±0.00)分],肺组织TGF-β1、HYP、MMP-2/TIMP-1水平依次下降。肺组织TGF-β1、HYP、MMP-2/TIMP-1分别与肺泡炎程度评分、肺纤维化程度评分存在正相关。结论 BM-MSCs与UCB-MSCs均可延缓大鼠肺纤维化进展,其中UCB-MSCs疗效更好,其治疗机制可能与下调TGF-β1水平、改善MMP/TIMP失衡有关。

**【关键词】** 肺纤维化;博来霉素;骨髓间充质干细胞;脐血间充质干细胞

肺纤维化(pulmonary fibrosis)是多种不同病因引起的间质性肺疾病的终末期病变,除长期氧疗和肺移植,尚无较好的治疗手段。间充质干细胞(mesenchymal stem cells, MSCs)是一种具备多向分化潜能、趋化特性、免疫调节作用及旁分泌功能的多能干细胞。研究表明,MSCs对包括肺纤维化在内的众多呼吸系统疾病具有一定的治疗作用。2015年9月至2016年9月,我们选用博来霉素诱导的肺纤维化大鼠作为动物模型,分别采用大鼠骨髓间充质干细胞(BM-MSCs)和脐血间充质干细胞(UCB-MSCs)对博来霉素诱导肺纤维化大鼠进行干预,观察比较两种细胞对大鼠肺纤维化的治疗作用及其可能机制。

### 1 材料与方法

1.1 材料 广东省医学实验动物中心提供雄性SPF级SD大鼠50只,2只用于分离BM-MSCs,其余48只随机分为4组,每组12只,分别为正常对照组(A组)、模型对照组(B组)、BM-MSCs移植组(C组)、UCB-MSCs移植组(D组),体重( $200\pm4$ )g,各组间体重差异无统计学意义( $P>0.05$ )。脐血及慢病毒包装试剂盒由广州熙帝生物科技有限公司提供。

1.2 BM-MSCs的分离培养 断颈处死大鼠,无菌

条件下取后腿股骨,去除肌肉,从中间折断;用注射器吸取培养基吹入骨腔冲出骨髓,离心 $200\times g$ ,5min;加培养基重悬后接种于10cm<sup>2</sup>培养皿。每2~3d换液1次,细胞长至90%左右融合后传代。

1.3 BM-MSCs体外标记 构建慢病毒包装载体Fuw-EGFP,使用慢病毒包装试剂盒在293T细胞中包装慢病毒,感染P2代骨髓间充质干细胞,感染后及传至第5代后于荧光倒置显微镜下观察细胞绿色荧光表达情况。

1.4 肺纤维化模型建立 2%戊巴比妥溶液按50mg/kg体重对各组大鼠进行腹腔注射麻醉,颈正中切口显露气管,A组大鼠于气管内注入0.1mL生理盐水,B、C、D组大鼠分别于气管内注入0.1mL以5mg/kg体重配制的博来霉素生理盐水溶液,注射后立即直立旋转大鼠2min,使药物均匀分布于两肺内。缝合皮肤,局部消毒后继续在原饲养环境下饲养。

1.5 细胞注射液的制备及移植 建模后1d,消化收集第5代荧光标记的BM-MSCs(并解冻UCB-MSCs),加生理盐水洗3次后添加适量生理盐水制成 $10^6$ cells/mL的细胞注射液备用。C组大鼠经尾静脉注射BM-MSCs $1\times 10^6$ 个,D组大鼠经尾静脉注射UCB-MSCs $1\times 10^6$ 个,A、B组大鼠经尾静脉

注射生理盐水 1 mL。

1.6 标本采集 建模后 28 d 及 42 d 分别处死各组大鼠的一半(至少 5 只,分别标记为 A1~D1 组和 A2~D2 组),取左肺用生理盐水冲洗后浸泡于 4% 多聚甲醛缓冲液固定备用。取 1.000 g 右肺,剪碎后加入预冷的 PBS 溶液 9 mL,然后用高速匀浆机以 15 000 r/min 充分匀浆,所得匀浆液 4°C,2 000 r/min 离心 15 min 后收集上清 500 μL,于 -80°C 低温冻存。

1.7 检测肺组织中示踪细胞的分布 取新鲜肺组织用 10% 琼脂糖包埋后作振动切片,于荧光倒置显微镜下观察荧光细胞分布情况。

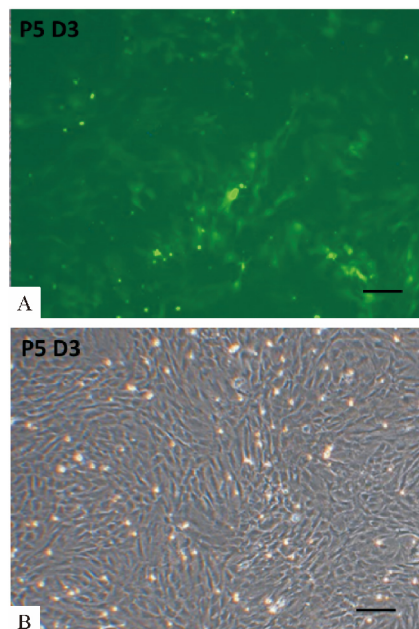
1.8 大鼠肺组织 HE、Masson 染色观察 将固定好的各组大鼠左肺组织常规酒精脱水、石蜡包埋,制作切片,进行 HE、Masson 染色,观察肺间质结构病理改变。根据 Szapiel 等<sup>[1]</sup>的方法,对 HE 染色切片评定肺组织肺泡炎程度,对 Masson 染色切片评定肺组织纤维化程度。肺泡炎分 4 级:(1) 无(-);(2) 轻(+):受累范围 <20%;(3) 中(++) :受累范围 20%~50%;(4) 重(+++):受累范围 >50%。肺纤维化分 4 级:(1) 无(-);(2) 轻(+):受累范围 <20%;(3) 中(++) :受累范围 20%~50%;(4) 重(+++):受累范围 >50%。等级资料转化为计量资料:(-) 为 0 分,(+) 为 1 分,(++) 为 2 分,(+++) 为 3 分 数据以  $\bar{x} \pm s$  表示。

1.9 测定肺组织转化生长因子-β1(TGF-β1)、羟脯氨酸(HYP)、基质金属蛋白酶-2(MMP-2)、基质金属蛋白酶组织抑制剂-1(TIMP-1)水平 采用酶联免疫吸附试验(ELISA)双抗体夹心法,同时批量检测各组大鼠肺组织 TGF-β1、HYP、MMP-2、TIMP-1 水平。

1.10 统计学方法 采用 SPSS 21.0 统计软件,各组均数比较使用单因素方差分析或 Kruskal-Wallis 秩和检验,组间两两比较采用 t 检验,两变量间关系使用 Spearman 秩相关分析,以  $P < 0.05$  为差异有统计学意义。

## 2 结果

2.1 骨髓间充质干细胞体外标记 慢病毒感染的 BM-MSCs 稳定表达绿色荧光,传代后仍稳定表达,见图 1。

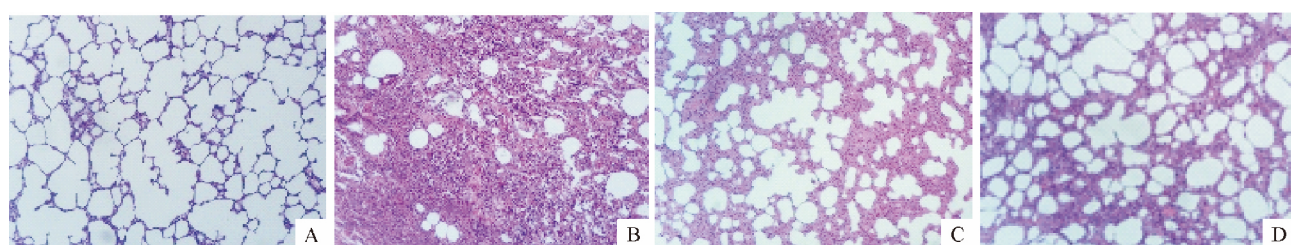


A:细胞形态符合 MSCs 形态特征 显成纤维细胞样;B:转入绿色荧光蛋白基因的细胞在荧光倒置显微镜下发出绿色荧光

图 1 移植用细胞形态及绿色荧光表达( $\times 100$ )

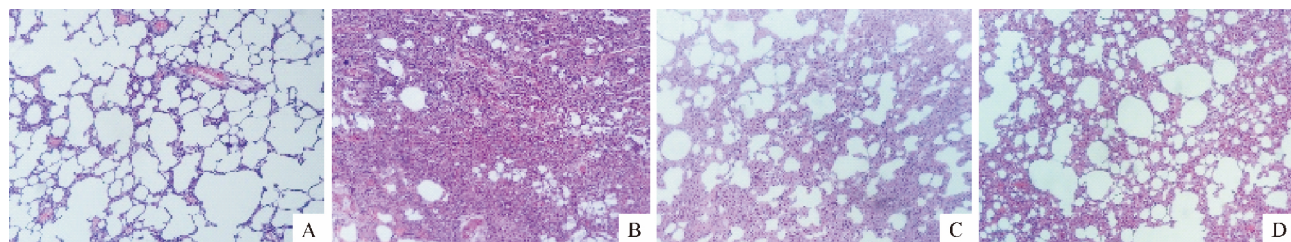
2.2 大鼠一般情况 A 组一般情况良好,无死亡。B、C、D 组在造模及 MSCs 移植后 7 d 内分别死亡 2 只、1 只、3 只,C、D 干细胞移植组大鼠精神、活动、饮食优于同期的 B 组,组间差异不明显。所有大鼠颈前伤口于造模 3~4 d 后自然愈合,无红肿、化脓。

2.3 大鼠肺组织 HE 染色观察 第 28 天处死半数大鼠,取肺组织进行 HE 染色,结果 A 组肺泡结构正常,未出现明显的炎症或纤维化表现。B 组 HE 染色可见肺泡间隔明显增宽,伴明显水肿,可见出血,大量炎性细胞浸润。C、D 组 HE 染色可见肺泡炎程度减轻。42 d 处死另一半大鼠取肺组织进行 HE 染色,结果与 28 d 基本一致,C、D 组 HE 染色可见 42 d 各组大鼠肺泡炎程度均较其同组 28 d 略有减轻。见图 2、3。



A:A 组;B:B 组;C:C 组;D:D 组

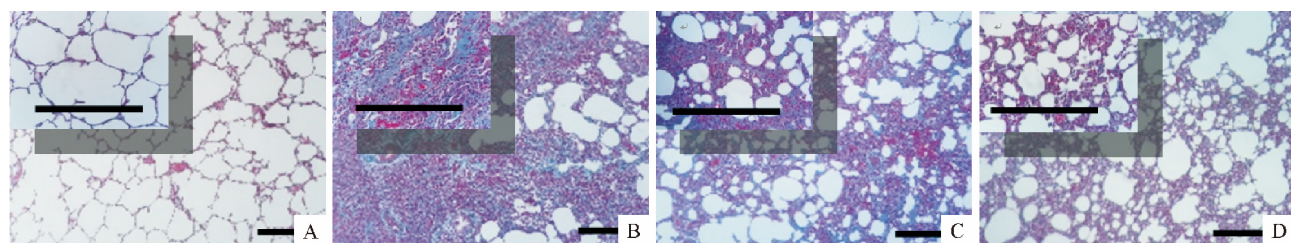
图 2 各组大鼠第 28 天肺组织 HE 染色( $\times 100$ )



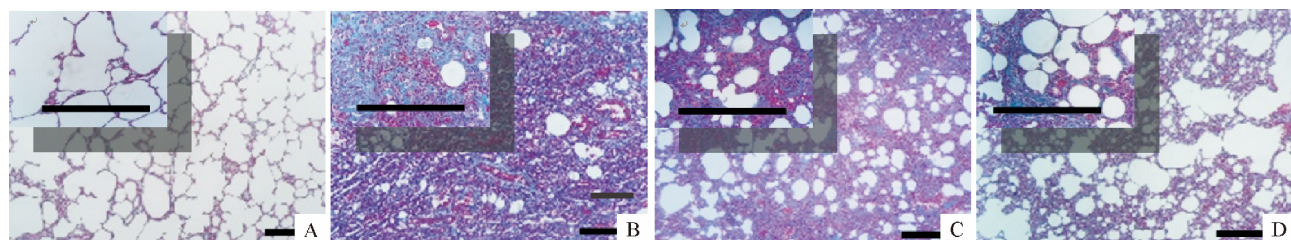
A:A组;B:B组;C:C组;D:D组  
图3 各组大鼠第42天肺组织HE染色( $\times 100$ )

**2.4 大鼠肺组织Masson染色观察** 第28天处死半数大鼠 取肺组织进行Masson染色,结果A组肺泡结构正常,未出现明显的炎症或纤维化表现。B组Masson染色可见肺泡结构严重紊乱,肺泡间隔明显增宽,可见大量蓝绿色染色的胶原纤维沉积。C、D

组Masson染色可见肺纤维化程度依次减轻,肺泡间隔增宽程度依次减轻,蓝绿色染色的胶原纤维沉积依次减少。42 d处死另一半大鼠取肺组织进行HE染色,结果与28 d基本一致,C、D组大鼠肺纤维化程度均较其同组28 d略有加重。见图4、5。



A:A组;B:B组;C:C组;D:D组  
图4 各组大鼠第28天肺组织Masson染色( $\times 100$ )



A:A组;B:B组;C:C组;D:D组  
图5 各组大鼠第42天肺组织Masson染色( $\times 100$ )

**2.5 大鼠肺泡炎与肺纤维化评分** 动物造模后,28 d及42 d其肺纤维化及肺泡炎评分均显著增高( $P < 0.05$ ),BM-MSCs治疗后,第28天C组肺纤维化程度与A组相比差异有统计学意义( $P < 0.05$ )其他时间点的肺纤维化及肺泡炎程度有所好转,但与B组相比差异无统计学意义( $P > 0.05$ );UCB-MSCs治疗后,D组第28天的肺纤维化程度、第42天的肺纤维化及肺泡炎评分与B组相比差异有统计学意义( $P < 0.05$ )。见表1。

**2.6 肺组织TGF- $\beta$ 1水平的测定** 28 d:A1组最低,B1组最高,C1组、D1组介于A1组和B1组之间,数值呈依次下降;D1组与B1组比较,差异有统计学意义( $P < 0.05$ )。42 d:A2组最低,B2组最高,C2组、D2组介于A2组和B2组之间,数值呈依次下降;C2组、D2组分别与B2组比较,差异有统计学意

义( $P < 0.05$ )。42 d各组大鼠肺组织TGF- $\beta$ 1值均较其同组28 d有所上升,但差异均无统计学意义( $P > 0.05$ )。见表2。

表1 各组大鼠肺泡炎、肺纤维化程度评分比较  $\bar{x} \pm s$

实验时间	组别	n	肺泡炎程度 评分	肺纤维化程度 评分
28 d	A1组	6	0.00 $\pm$ 0.00	0.00 $\pm$ 0.00
	B1组	5	2.60 $\pm$ 0.55*	3.00 $\pm$ 0.00*
	C1组	6	2.17 $\pm$ 0.75*	2.17 $\pm$ 0.75*△
	D1组	5	2.00 $\pm$ 0.71*	1.60 $\pm$ 0.90*△
42 d	A2组	6	0.00 $\pm$ 0.00	0.00 $\pm$ 0.00
	B2组	5	2.40 $\pm$ 0.55#	3.00 $\pm$ 0.00#
	C2组	5	1.80 $\pm$ 0.84#	2.40 $\pm$ 0.55#
	D2组	4	1.50 $\pm$ 0.58#▲	1.75 $\pm$ 0.96#▲

\*与A1组比较 $P < 0.05$ ;△与B1组比较 $P < 0.05$ ;#与A2组比较 $P < 0.05$ ;▲与B2组比较 $P < 0.05$

表 2 各组大鼠肺组织 TGF-β1、HYP、MMP-2、TIMP-1、MMP-2/TIMP-1 比较

 $\bar{x} \pm s$ 

时间	组别	TGF-β1 (ng/mL)	HYP (ng/mL)	MMP-2 (ng/mL)	TIMP-1 (ng/mL)	MMP-2/TIMP-1
28 d	A1 组	0.04 ± 0.01	0.04 ± 0.01	0.04 ± 0.01	0.19 ± 0.04	0.20 ± 0.11
	B1 组	0.15 ± 0.04*	0.17 ± 0.03*	0.25 ± 0.01*	0.06 ± 0.00*	4.23 ± 0.51*
	C1 组	0.11 ± 0.05*	0.12 ± 0.05*△	0.17 ± 0.02*△	0.08 ± 0.01*	2.20 ± 0.56*△
	D1 组	0.08 ± 0.05△	0.11 ± 0.05*△	0.13 ± 0.02*△#	0.10 ± 0.02*△	1.38 ± 0.23*△#
42 d	A2 组	0.05 ± 0.01	0.05 ± 0.01	0.05 ± 0.02	0.16 ± 0.02	0.30 ± 0.12
	B2 组	0.18 ± 0.03▲	0.18 ± 0.03▲	0.23 ± 0.02▲	0.05 ± 0.00▲	4.51 ± 0.37▲
	C2 组	0.13 ± 0.02▲◇	0.15 ± 0.05▲	0.18 ± 0.02▲◇	0.07 ± 0.01▲	2.72 ± 0.61▲◇
	D2 组	0.11 ± 0.05▲◇	0.13 ± 0.03▲	0.10 ± 0.01▲◇◆	0.06 ± 0.01▲	1.87 ± 0.53▲◇◆

\* 与 A1 组比较  $P < 0.05$ ; △与 B1 组比较  $P < 0.05$ ; #与 C1 组比较  $P < 0.05$ ; ▲与 A2 组比较  $P < 0.05$ ; ◇与 B2 组比较  $P < 0.05$ ; ◆与 C2 组比较  $P < 0.05$

2.7 肺组织 HYP 水平的测定 28 d:A1 组最低 ,B1 组最高 ,C1 组、D1 组介于 A1 组和 B1 组之间 ,数值呈依次下降 ;C1 组、D1 组分别与 B1 组比较 ,差异有统计学意义 ( $P < 0.05$ )。42 d:A2 组最低 ,B2 组最高 ,C2 组、D2 组介于 A2 组和 B2 组之间 ,数值呈依次下降。42 d 各组大鼠肺组织 HYP 均值均较其同组 28 d 有所上升 ,但差异均无统计学意义 ( $P > 0.05$ )。见表 2。

2.8 肺组织 MMP-2 水平的测定 28 d:A1 组最低 ,B1 组最高 ,C1 组、D1 组介于 A1 组和 B1 组之间 ,数值呈依次下降 ,此 3 组分别与 B1 组相比 ,差异有统计学意义 ( $P < 0.05$ ) ;D1 组分别与 C1 组相比 ,差异有统计学意义 ( $P < 0.05$ )。42 d:A2 组最低 ,B2 组最高 ,C2 组、D2 组介于 A2 组和 B2 组之间 ,数值呈依次下降 ,此两组分别与 B2 组相比 ,差异有统计学意义 ( $P < 0.05$ ) ;D2 组与 C2 组相比 ,差异有统计学意义 ( $P < 0.05$ )。42 d A、C 组大鼠肺组织 MMP-2 均值较其同组 28 d 有所上升 A2 d B、D 组大鼠肺组织 MMP-2 均值较其同组 28 d 有所下降。见表 2。

2.9 肺组织 TIMP-1 水平的测定 28 d:A1 组最

高 ,B1 组最低 ,C1 组、D1 组介于 A1 组和 B1 组之间 ,数值呈依次上升 ;D1 组与 B1 组相比 ,差异有统计学意义 ( $P < 0.05$ )。42 d:A2 组最高 ,B2 组最低 ,D2 组、C2 组介于 A2 组和 B2 组之间 ,数值呈依次上升。42 d 各组大鼠肺组织 TIMP-1 均值较其同组 28 d 有所下降。见表 2。

2.10 肺组织 MMP-2/TIMP-1 28 d:A1 组最低 ,B1 组最高 ,C1 组、D1 组介于 A1 组和 B1 组之间 ,数值呈依次下降 ,此两组分别与 B1 组相比 ,差异有统计学意义 ( $P < 0.05$ ) ;D1 组与 C1 组相比 ,差异有统计学意义 ( $P < 0.05$ )。42 d:A2 组最低 ,B2 组最高 ,C2 组、D2 组介于 A2 组和 B2 组之间 ,数值呈依次下降 ,此 3 组分别与 B2 组相比 ,差异有统计学意义 ( $P < 0.05$ ) ;D2 组与 C2 组相比 ,差异有统计学意义 ( $P < 0.05$ )。42 d 各组大鼠肺组织 MMP-2/TIMP-1 均值较其同组 28 d 有所上升 ,但差异均无统计学意义 ( $P > 0.05$ )。见表 2。

2.11 相关性分析 肺组织 TGF-β1、HYP、MMP-2/TIMP-1 分别与肺泡炎程度评分、肺纤维化程度评分存在显著正相关。见表 3。

表 3 TGF-β1、HYP、MMP-2/TIMP-1 分别与肺泡炎程度及肺纤维化程度评分相关性分析

指标	TGF-β1		HYP		MMP-2/TIMP-1	
	r 值	P 值	r 值	P 值	r 值	P 值
肺泡炎评分	0.82	<0.001	0.86	<0.001	0.83	<0.001
肺纤维化评分	0.89	<0.001	0.92	<0.001	0.92	<0.001

2.12 振动切片观察荧光细胞 28 d 和 42 d 处死的大鼠肺组织振动切片后均未发现有荧光细胞。

### 3 讨论

肺纤维化是众多间质性肺疾病的终末期病变 ,其表现为慢性肺泡间质性炎症损伤、细胞外基质破

坏和异常修复等<sup>[2-3]</sup>。肺纤维化的预后极差 ,目前除氧疗及肺移植外尚无有效的治疗手段。

近年来 ,已有研究显示间充质干细胞对肺纤维化具有治疗作用 ,Ortiz 等<sup>[4]</sup>发现博来霉素所致的肺损伤可促进 BM-MSCs 向肺内归巢 ,分化为 II 型肺泡上皮细胞 ,并减轻肺纤维化的程度 ;Rojas 等<sup>[5]</sup>发现

BM - MSCs 可降低博来霉素诱导肺纤维化小鼠肺组织中 IFN -  $\gamma$ 、IL - 2、IL - 1 $\beta$  和 IL - 4 的含量 , 从而减轻肺部炎症。以上表明 , 间充质干细胞在肺纤维化中的治疗作用与其迁移分化作用、免疫调节作用以及旁分泌功能有关。

本研究着重观察 HYP 、 TGF -  $\beta$ 1 、 MMP - 2 及 TIMP - 1 在肺纤维化致病和治疗过程中的变化。 A 组的 TGF -  $\beta$ 1 、 HYP 、 MMP - 2 及 MMP - 2/TIMP - 1 的比值处于低水平 ,TIMP - 1 处于高水平 ;B 组的 TGF -  $\beta$ 1 、 HYP 、 MMP - 2 及 MMP - 2/TIMP - 1 的比值处于高水平 ,TIMP - 1 处于低水平 ,TGF -  $\beta$ 1 、 HYP 、 MMP - 2/TIMP - 1 的水平与肺纤维化的程度呈正相关 ;C 、 D 组均较 B 组下调 TGF -  $\beta$ 1 、 HYP 和 MMP - 2 水平 , 上调 TIMP - 1 水平 , 使 MMP - 2/TIMP - 1 的比值明显下降 , 病理结果亦显示其肺泡炎程度及肺纤维化程度均有不同程度的减轻 , 推测 BM - MSCs 及 UCB - MSCs 可能通过抑制 TGF -  $\beta$ 1 纠正 MMP/TIMP 的失衡 , 终止 MMP - 2 对正常肺泡结构的破坏及其所导致的异常修复 , 从而减轻肺泡炎和肺纤维化的程度。

研究表明 ,BM - MSCs 和 UCB - MSCs 治疗不同疾病有其各自的优势<sup>[6-7]</sup>。与 BM - MSCs 相比 ,UCB - MSCs 具有来源充足 取材方便 操作简单 对供体无痛苦 , 免疫原性较弱 , 受病原体污染的概率更低等众多优势。本研究显示 , 在同等剂量 ( $1 \times 10^6$ ) 下 ,UCB - MSCs 在肺组织病理、 MMP - 2 水平、 MMP - 2/TIMP - 1 比值均明显优于 BM - MSCs; 而在 HYP 、 TGF -  $\beta$ 1 、肺泡炎程度和肺纤维化程度评分等指标中 , 虽然 UCB - MSCs 与 BM - MSCs 相比多数指标差异无统计学意义 , 但仍展示出更好的表现。因此 , 与 BM - MSCs 相比 ,UCB - MSCs 对肺纤维化

具有更佳的治疗效果 ,UCB - MSCs 有望成为肺纤维化的治疗新途径。

本研究结果提示 , 间充质干细胞经静脉移植可延缓肺纤维化进展 , 下调 TGF -  $\beta$ 1 水平及改善 MMP/TIMP 失衡可促进间充质干细胞对肺纤维化的修复作用 , 选择 UCB - MSCs 或可提高对肺纤维化的治疗效果 , 但临幊上应用间充质干细胞治疗肺纤维化仍有待进一步研究。

#### 参考文献

- [1] Szapiel SV , Elson NA , Fulmer JD , et al. Bleomycin - induced interstitial pulmonary disease in the nude , athymic mouse [J]. Am Rev Respir Dis , 1979 , 120(4) : 893 - 899.
- [2] Wynn TA. Integrating mechanisms of pulmonary fibrosis [J]. J Exp Med , 2011 , 208(7) : 1339 - 1350.
- [3] Noble PW , Barkauskas CE , Jiang D. Pulmonary fibrosis: patterns and perpetrators [J]. J Clin Investigation , 2012 , 122(8) : 2756 - 2762.
- [4] Ortiz LA , Gambelli F , McBride C , et al. Mesenchymal stem cell engraftment in lung is enhanced in response to bleomycin exposure and ameliorates its fibrotic effects [J]. Proc Natl Acad Sci U S A , 2003 , 100(14) : 8407 - 8411.
- [5] Rojas M , Xu J , Woods CR , et al. Bone marrow - derived mesenchymal stem cells in repair of the injured lung [J]. Am J Respir Cell Mol Biol , 2005 , 33(2) : 145 - 152.
- [6] Ryu H , Kang B , Park S , et al. Comparison of mesenchymal stem cells derived from fat , bone marrow , Wharton's jelly , and umbilical cord blood for treating spinal cord injuries in dogs [J]. J Vet Med Sci , 2012 , 74(12) : 1617 - 1630.
- [7] Du WJ , Chi Y , Yang ZX , et al. Heterogeneity of proangiogenic features in mesenchymal stem cells derived from bone marrow , adipose tissue , umbilical cord , and placenta [J]. Stem Cell Res Ther , 2016 , 7(1) : 163.

(收稿日期:2017-11-17 编辑:杜冠辉)